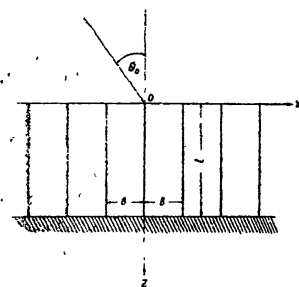


ОТРАЖЕНИЕ ПЛОСКОЙ ЭЛЕКТРОМАГНИТНОЙ ВОЛНЫ ОТ ПЕРИОДИЧЕСКОЙ СТРУКТУРЫ ИЗ ПРОВОДЯЩИХ ПЛАСТИН

В. В. Колпаков

Решается задача об отражении плоской электромагнитной волны от периодической структуры, состоящей из чередующихся слоев диэлектрика без потерь и тонких проводящих пластин, расположенных нормально к идеально проводящей плоскости.

На рис. 1 изображена периодическая структура, состоящая из плоских слоев диэлектрика без потерь и тонких проводящих пластин. Эта структура, представляющая собой искусственный диэлектрик с потерями, расположена на идеально проводящей плоскости $z=l$. На внешнюю поверхность структуры под углом θ_0 к нормали падает плоская электромагнитная волна, электрический вектор которой перпендикулярен плоскости xOz .



Задачу будем решать с помощью метода функциональных уравнений [1,2] с использованием приближенных граничных условий для проводящей пластины [3].

Пусть толщина пластин τ мала и ею можно пренебречь по сравнению с периодом структуры b . Обозначим через $\epsilon_1, \mu_1, \sigma_1; \epsilon_2, \mu_2, \sigma_2=0$ и ϵ_0, μ_0 электромагнитные параметры, соответственно, материала проводящих пластин, слоев диэлектрика и свободного пространства.

Вследствие периодичности структуры для всех компонент поля при $z < 0$ и $z > 0$ справедливо соотношение

Рис. 1. Общая схема периодической структуры.

$$E_y(x + nb, z) = e^{inbk_0 \sin \theta_0} E_y(x, z) \quad (n = 0, \pm 1, \pm 2, \pm \dots), \quad (1)$$

где $k_0 = \omega (\epsilon_0 \mu_0)^{1/2} = 2\pi/\lambda_0$.

Обозначая

$$E_y(0, z) = g(z) = \int_C e^{i\omega z} G(\omega) d\omega,$$

где C — некоторый контур интегрирования на плоскости комплексного переменного ω , и учитывая (1), можно представить решение волнового уравнения для единственной компоненты электрического поля $E_y = E(x, z)$ в форме:

$$E(x, z) = \int_C e^{i\omega z} \frac{e^{ibk_0 \sin \theta_0} \sin \alpha_0 x + \sin \alpha_0 (b-x)}{\sin \alpha_0 b} G(\omega) d\omega \quad \text{для } z < 0, \quad (2)$$

где $\alpha_0 = (k_0^2 - \omega^2)^{1/2}$,

$$E(x, z) = \int_C e^{i\omega z} \frac{e^{ibk_0 \sin \theta_0} \sin \alpha x + \sin \alpha (b-x)}{\sin \alpha b} G(\omega) d\omega \quad \text{для } z > 0, \quad (3)$$

где $\alpha = (k^2 - \omega^2)^{1/2}$, $k = \omega (\epsilon_2 \mu_2)^{1/2} = 2\pi/\lambda$.

Функция $G(w)$ должна быть такова, чтобы вектор напряженности магнитного поля был непрерывен на вспомогательных плоскостях $x = nb$ ($n = 0, \pm 1, \pm 2, \pm \dots$) в полупространстве $z < 0$. Из этого условия получаем

$$\int_c e^{i\omega z} P(\omega) \alpha_0 G(\omega) d\omega = 0 \quad \text{при } z < 0, \quad (4)$$

где

$$P(\omega) = i \frac{\cos \alpha_0 b - \cos(k_0 b \sin \theta_0)}{\sin \alpha_0 b}.$$

В полупространстве $z > 0$ для проводящих пластин справедливы граничные условия [3]

$$E_y(nb + 0, z) = E_y(nb - 0, z) = \frac{1}{Y} [H_z(nb + 0, z) - H_z(nb - 0, z)], \quad (5)$$

где $Y = \sigma_1 \tau - i \omega \varepsilon_1 \tau$ — поверхностная проводимость пластины. Если токами смещения в пластине можно пренебречь, то $\frac{1}{Y} = \rho = \frac{1}{\sigma_1 \tau}$, где ρ — активное поверхностное сопротивление пластины.

Подставляя в (5) выражения для тангенциальных компонент поля, получим

$$\int_c e^{i\omega z} Q(\omega) \alpha G(\omega) d\omega = 0 \quad \text{при } z < 0, \quad (6)$$

где

$$Q(\omega) = i \frac{\cos \alpha b - \cos(k_0 b \sin \theta_0) - i \frac{k W Y \sin \alpha b}{2 \alpha}}{\sin \alpha b}, \quad W = (\mu_2 / \varepsilon_2)^{1/2}.$$

Функция $P(\omega)$ имеет нули p_n и полюсы v_m в точках:

$$\omega = \pm p_n = \pm \sqrt{k_0^2 - [k_0 \sin \theta_0 + (2\pi n/b)]^2} \quad (n = 0, \pm 1, \pm 2, \pm \dots),$$

$$\omega = \pm v_m = \pm \sqrt{k_0^2 - (\pi m/b)^2} \quad (m = 0, 1, 2 \dots).$$

Сравнивая числитель функции $Q(\omega)$ с дисперсионным уравнением для безграничной периодической структуры [3], находим, что если для каждого типа волны, возбуждающейся в структуре, выполняется закон Снелля

$$\gamma_n \sin \theta = k_0 \sin \theta_0,$$

то $Q(\omega)$ имеет нули в точках

$$\omega = \pm q_n = \pm \gamma_n \cos \theta.$$

Полюсами $Q(\omega)$ являются точки

$$\omega = \pm w_m = \pm \sqrt{k_0^2 - (\pi m/b)^2}.$$

Для удобства анализа временно будем считать, что k_0 и k имеют исчезающе малую положительную мнимую часть $Imk = Imk_0 = k_0''$. Функции $P(\omega)$ и $Q(\omega)$ голоморфны в полосе $-k_0'' \cos \theta_0 < Im\omega < k_0'' \cos \theta_0$ и не имеют здесь нулей, причем в пределах этой полосы $P(\omega) \rightarrow 1$ и $Q(\omega) \rightarrow 1$ при $|\omega| \rightarrow \infty$. На основании [4] представим $P(\omega)$ и $Q(\omega)$ в виде произведения двух функций

$$P(\omega) = P_1(\omega) P_2(\omega), \quad Q(\omega) = Q_1(\omega) Q_2(\omega),$$

где $P_1(\omega)$ и $Q_1(\omega)$ голоморфны и не имеют нулей в верхней полуплоскости $Im\omega > -k_0'' \cos \theta_0$, а $P_2(\omega) = P_1(-\omega)$ и $Q_2(\omega) = Q_1(-\omega)$ в нижней полуплоскости $Im\omega < k_0'' \cos \theta_0$, причем

$$P_1(\omega) = \frac{\sqrt{k_0 P(0)} (1 + \omega/p_0) \prod_{n=1}^{\infty} (1 + \omega/p_n) (1 + \omega/p_{-n})}{\sqrt{k_0 + \omega} \prod_{m=1}^{\infty} (1 + \omega/v_m)},$$

$$Q_1(\omega) = \frac{\sqrt{kQ(0)} (1 + \omega/q_0) \prod_{n=1}^{\infty} (1 + \omega/q_n) (1 + \omega/q_{-n})}{\sqrt{k + \omega} \prod_{m=1}^{\infty} (1 + \omega/w_m)}$$

Будем искать функцию $G(\omega)$ в виде

$$G(\omega) = \frac{1}{2\pi i} \frac{1}{\sqrt{k_0 + \omega} \sqrt{k - \omega} (\omega - p_0) P_1(\omega) Q_2(\omega)} \left(A + \sum_{n=-\infty}^{\infty} \frac{A_n}{\omega + q_n} \right), \quad (7)$$

а контур интегрирования выберем так, как показано на рис. 2. Контур идет, в основном, по действительной оси, но огибает снизу все точки $\omega = -q_n$ и сверху точку $\omega = p_0 = k_0 \cos \theta_0$. Уравнения (4) и (6) удовлетворяются, поскольку функция $P(\omega) \alpha_0 G(\omega)$ не имеет полюсов ниже контура C , а функция $Q(\omega) \alpha_0 G(\omega)$ — выше контура C . Кроме того, эти функции при $|\omega| \rightarrow \infty$ в соответствующих полуплоскостях стремятся к нулю, как $\frac{1}{\omega}$.

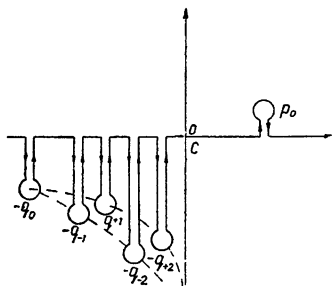


Рис. 2. Выбор контура интегрирования.

Подставляя (7) в (3), получим поле в периодической структуре в виде суперпозиции полей различных типов волн с постоянными распространения $+q_n$ и $-q_n$ вдоль оси z . На металлической подложке имеет место граничное условие

$$E(x, z)_{z=l} = 0, \quad (8)$$

которому должна удовлетворять каждая пара волн (прямая и обратная). Используя (8), получим систему уравнений для коэффициентов ряда (7)

$$A_r = 2q_r \Gamma_r e^{i2q_r l} \left(A + \sum_{n=-\infty}^{\infty} \frac{A_n}{q_r + q_n} \right) \quad (r = 0, \pm 1, \pm 2, \pm \dots), \quad (9)$$

где

$$\Gamma_r = \frac{(p_0 + q_r)(p_r - q_r)}{(p_0 - q_r)(p_r + q_r)} \prod_{m=1}^{\infty} \frac{\left(1 + \frac{q_r}{v_m}\right) \left(1 - \frac{q_r}{w_m}\right)}{\left(1 - \frac{q_r}{v_m}\right) \left(1 + \frac{q_r}{w_m}\right)} \prod_{\substack{n=-\infty \\ n \neq r}}^{\infty} \frac{\left(1 - \frac{q_r}{p_n}\right) \left(1 + \frac{q_r}{q_n}\right)}{\left(1 + \frac{q_r}{p_n}\right) \left(1 - \frac{q_r}{q_n}\right)}$$

(штрих означает, что член с $n=0$ отсутствует).

При $z < 0$ интеграл (2) представим в виде суммы вычетов в точках $\omega = \pm p_0$ и $\omega = -p_n$.

$$E(x, z) = B_0' e^{ik_0(x \sin \theta_0 + z \cos \theta_0)} + B_0 e^{ik_0(x \sin \theta_0 - z \cos \theta_0)} + \sum_{\nu=-\infty}^{\infty} B_\nu e^{ik_0 \left[x \left(\sin \theta_0 + \nu \frac{\lambda_0}{b} \right) - z \sqrt{1 - \left(\sin \theta_0 + \nu \frac{\lambda_0}{b} \right)^2} \right]}, \quad (10)$$

$$B_0' = \frac{1}{2 \sqrt{k k_0} P(0) Q(0)} \frac{\prod_{m=1}^{\infty} \left(1 + \frac{p_0}{v_m}\right) \left(1 - \frac{p_0}{w_m}\right)}{\left(1 - \frac{p_0}{q_0}\right) \prod_{n=-\infty}^{\infty} \left(1 - \frac{p_0}{q_n}\right) \left(1 + \frac{p_0}{p_n}\right)} \left(A + \sum_{n=-\infty}^{\infty} \frac{A_n}{p_0 + q_n} \right) \quad (11)$$

Аналогичным образом выражаются амплитуда зеркально отраженной плоской волны B_0 и амплитуды пространственных гармоник B_n , которые обуславливают плоские волны, распространяющиеся под углом $\varphi_n = \arcsin(\sin \theta_0 + \nu \frac{\lambda_0}{b})$ к внешней нормали, если $|\sin \theta_0 + \nu(\lambda_0/b)| < 1$. Налагая на амплитуду падающей плоской волны условие

$$B'_0 = 1, \tag{12}$$

получим еще одно уравнение, которое вместе с системой уравнений (9) дает возможность определить все неизвестные коэффициенты A и A_n однозначно.

В случае полубесконечной периодической структуры волны, распространяющиеся в структуре в отрицательном направлении оси z , отсутствуют, поэтому $A_n = 0$, и для зеркальной компоненты коэффициента отражения R (по мощности) получаем

$$R = |B_0|^2 = \left| \frac{(1 - \frac{p_0}{q_0})}{(1 + \frac{p_0}{q_0})} \prod_{n=-\infty}^{\infty} \frac{(1 - \frac{p_0}{q_n})(1 + \frac{p_0}{p_n})}{(1 + \frac{p_0}{q_n})(1 - \frac{p_0}{p_n})} \prod_{m=1}^{\infty} \frac{(1 - \frac{p_0}{v_m})(1 + \frac{p_0}{w_m})}{(1 + \frac{p_0}{v_m})(1 - \frac{p_0}{w_m})} \right|^2.$$

Если период структуры b сравним с длиной волны или меньше её, то ряд (9) сходится настолько быстро, что при вычислении коэффициента отражения от структуры, помещенной на металлическую подложку, можно ограничиться с достаточной для практики точностью членами с A и A_0 . Из (9), (11) и (12) получаем

$$R_0 = |B_0|^2 = D_0 \frac{|r_0|^2 - 2|\Gamma_0||r_0|e^{-2Imq_0l} \cos(2Req_0l + \delta_0 - \delta_0) + |\Gamma_0|^2 e^{-4Imq_0l}}{1 - 2|\Gamma_0||r_0|e^{-2Imq_0l} \cos(2Req_0l + \delta_0 + \delta_0) + |\Gamma_0|^2 |r_0|^2 e^{-4Imq_0l}}, \tag{13}$$

где $r_0 = |r_0| e^{i\delta_0} = \frac{k_0 \cos \theta_0 - q_0}{k_0 \cos \theta_0 + q_0}, \quad \Gamma_0 = |\Gamma_0| e^{i\delta_0},$

$$D_0 = \left| \prod_{n=-\infty}^{\infty} \frac{(1 + \frac{p_0}{p_n})(1 - \frac{p_0}{q_n})}{(1 - \frac{p_0}{p_n})(1 + \frac{p_0}{q_n})} \prod_{m=1}^{\infty} \frac{(1 - \frac{p_0}{v_m})(1 + \frac{p_0}{w_m})}{(1 + \frac{p_0}{v_m})(1 - \frac{p_0}{w_m})} \right|^2.$$

Выражение (13) по своей структуре совпадает с выражением для коэффициента отражения от слоя однородного диэлектрика на металлической плоскости, но отличается от него коэффициентами Γ_0 и D_0 , наличие которых свидетельствует об искажении плоской волны у поверхности структуры. Совершенно аналогично можно найти и „коэффициенты отражения“ $R_n = |B_n|^2$ в направлении дифракционных максимумов.

В качестве примера на рис. 3 приведена кривая зависимости коэффициента отражения R_0 от λ_0/b , рассчитанная по формуле (13) для случая нормального падения $|\theta_0 = 0|$ при следующих значениях параметров структуры: $\frac{l}{b} = 1,14, \epsilon_2 = \epsilon_0, \mu_2 = \mu_0, \rho = 240 \text{ ом}$. Расчет показал, что при вычислении Γ_0 и D_0 в бесконечных произведениях можно ограничиться лишь первыми двумя сомножителями, так как модули последующих сомножителей мало отличаются от единицы, а их аргументы близки к нулю.

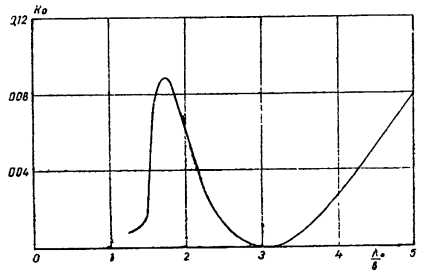


Рис. 3. Зависимость коэффициента отражения от длины волны λ_0 при $\frac{l}{b} = 1,14, \epsilon_2 = \epsilon_0, \mu_2 = \mu_0, \rho = 240 \text{ ом}$.

Л И Т Е Р А Т У Р А

1. Л. А. В а й н ш т е й н, Дифракция электромагнитных и звуковых волн на открытом конце волновода, изд. Сов. радио, М., 1953.
2. Л. А. В а й н ш т е й н, ЖТФ, 1956, 26, 385.
3. В. В. К о л п а к о в, Распространение электромагнитных волн в периодической структуре из проводящих пластин (настоящий сборник).
4. В. А. Ф о к, Матем. сборник, 1944, 14, 1, 3.

Сибирский физико-технический институт
при Томском университете

Поступила в редакцию
25 ноября 1957 г.
